

東北大学工学部 正会員 民坂芳夫

東北大学工学部 正会員 鈴木基行

東北大学大学院 学生員 原 隆一

-まえがき-

従来、用ひられて来た弹性理論に基づく許容応力度設計法では、安全率を用いることで安全性が保障されて来た。しかしその安全率も理論的な根拠に乏しい経験的な量である。同様に、公称荷重などもあいまいな量である。

そこで、近來重視されて来たのが、荷重・耐力などをすべて確率量であると考えて安全性を検証する方法である。この方法では、公称荷重、公称強度、その他の係数など設計上必要な量に確率論的な背景を与えるほか、なおかつ最終的には、これらに変換して破壊確率を与えることと安全性の検証を行なうことを目的としている。

この論文は、R-Cラーメン構造物の荷重と変位の非線形変換を求め、それよりその構造物の破壊確率を計算し実際上必要となる変換曲線の線形化を検討したものである。

-応力・歪曲線の仮定-

コンクリートとスチールの応力・歪曲線は図1、図2のように仮定するものとする。特にコンクリートの応力・歪曲線に関しては、コンクリートの引張歪を考慮し、直線BCの下り勾配は、スチーリング量及びスチーリング箇所を定まるものとする。

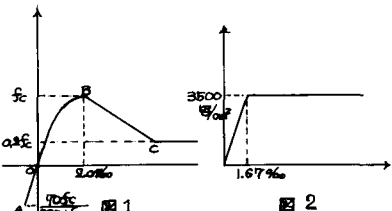


図 1



図 2

-M-4図の作製及び剛性の決定-

次に上記で定められたコンクリート、スチールの応力・歪曲線とベルヌーイの平面保持の仮定を基礎として曲げモーメント(M)-曲率(θ)の関係を決定する。

軸力Nと曲率θが与えられ正時、コンクリートとスチールの合力がNに均等に作用する歪分布を求めるには、そのような歪分布の時の曲げモーメントを求めるものである。そのようしたことをめぐらすのが図3の実験である。

次に剛体の決定を計算上の簡単化として図3の実験のよう、A(ひび割れ発生時)とB(鉄筋降伏時)とを結んで、M-4図をtrilinearと考え、3段階の剛性で仮定した。

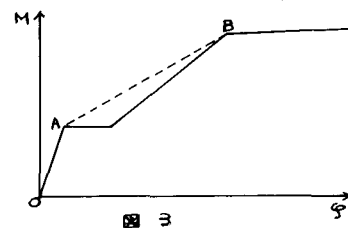


図 3

-構造解析-

解析の対象となる構造物は、図4に示すような2層のR-Cラーメン構造物で、各部材の断面を図5に示した。又A-Fの6ヶ所の結節点は他の部材より非常に大きめ剛性をもつと考えられるので剛域と考え、予め高い剛性を与えておき、変化させないものとした。

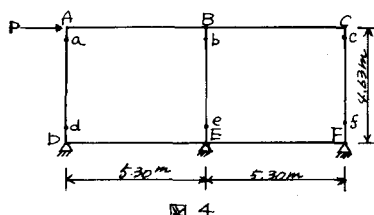


図 4

解析は有限要素法を基本として、それに上記の曲げ剛性決定プログラムを導入したもので、そのフローチャートを図6に示すので参照されたい。

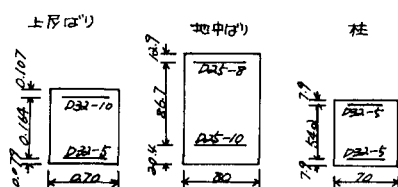


図 5

以上のようにして得られた結果を示すのが図7のO Aなる曲線である。点Aは、図4 a～hまでの部分の鉄筋が降伏して塑性ヒンジができる構造物が不安定となるときのP, δを示すもので、図7のd～fはこの構造物の耐力と考えることはできる。

一破壊確率の算定と線形化の可能性

今、荷重・耐力の両者をバラツキをもつ量であるものとし、特に耐力(=ひびき変位δ)は構造解析により求めたAを平均値とする分布量であるものとする。次に上でも述べたO Aなる変換曲線Fより耐力の分布函数を荷重軸に変換し破壊確率を計算するのであるが、ゆえに大きなヒンジのP, δはO Aを直線で代用するものとする。 $\equiv C$ 破壊確率は次式で計算される。

$$P_f = \int_0^{\infty} (1 - F_p(x)) f_R(x) dx$$

F_p : 荷重の分布函数
 f_R : 耐力の密度函数

上記に従って、耐力を正規分布、荷重を極値分布Type IIとし下時、荷重と耐力の変動係数の9種類の組合せに対し、特性安全率 n_f に対する破壊確率 P_f の変化を示したのが図8である。この図より P_f が荷重の影響を強く受けていることがわかる。 \equiv 中に極値分布を考える場合の一つの傾向のようである。

図9に示したのは、上記の①④⑦の曲線と荷重-変位曲線のSを耐力の5%フラクタイルと線形化して同様に示した P_f - δ 曲線である。 \equiv 中より明らかに破壊確率がそのオーダーで随時に異なる程度のものであるといふことから考えると、かなり良い近似であると考えることは可能である。又、変動係数が大きくなるほど誤差が大きくなることがわかる。

以上の結論は、荷重が極値分布Type II、耐力が正規分布の場合であるが、その他荷重として正規分布、極値分布Type I, II、耐力として正規分布、極値分布Type I, IIとあり、合計9種27組の組合せである。 \equiv これらについには「当時の発表を紹介する」といふ。

参考文献

J. Ferry Borges and M. Castaneteha
 ; STRUCTURAL SAFETY

A. Faria

; NON-LINEAR BEHAVIOR
 OF FRAMES AND SLABS.

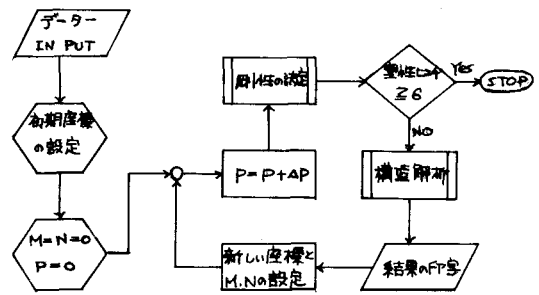


図 6

